

впливає на рівність покриття і довговічність дорожнього одягу, якщо загальне підняття проїзної частини в процесі промерзання конструкції не перевищує таких значень:

- для капітального дорожнього одягу – 4 см;
- для полегшеного дорожнього одягу – 6 см;
- для перехідного дорожнього одягу – 10 см.

Таке твердження не відповідає сучасним вимогам до якості автомобільних доріг з дорожнім одягом нежорсткого типу, а наведені критерії максимального допустимого зимового здимання є критичними, оскільки сучасні транспортні засоби, зокрема легкові автомобілі закордонного виробництва, мають низьку посадку (малий кліренс). Тому вищенаведені показники зимового здимання приводять не лише до значних витрат на капітальні та поточні ремонти автомобільних доріг, а також до погіршення безпеки руху на певних ділянках автодоріг та збільшення витрат на ремонт транспортних засобів, які при русі по автомагістралі зазнають серйозних і частих пошкоджень.

Висновки. Запропонована авторами статті умова, що температура земляного полотна повинна становити $+4^{\circ}\text{C}$, дає змогу знизити показники зимового здимання конструкції дорожнього одягу до 1÷2 см. Досягнення параметра за рахунок влаштування теплоізоляційного шару з неавтоклавного пінобетону при проектуванні і будівництві автомобільних доріг створює сприятливі умови для підвищення безпеки руху, зниження експлуатаційних витрат на підтримання вулиць та доріг у належному стані та збереження автомобільного парку користувачів автотранспортної мережі України.

1. ВБН В.2.3-218-186-2004 *Споруди транспорту. Дорожній одяг нежорсткого типу.* – К.: Укравтодор. – 2004. – 176 с. 2. Лундышев И.А. Комплексное применение монолитного пенобетона при строительстве в труднодоступных районах добычи энергоресурсов // Инженерно-строительный журнал. – 2009. – № 4 – С. 16–20. 3. Коваль П.М., Фаль А.Є., Кушнір О.В., Усатов В.В. Перспективи використання пінобетону в дорожньому будівництві України // Дорожня галузь України. – 2008. – № 2. – С. 54–56.

УДК 624.138

I.I. Кархут, О.В. Крочак, М.Й. Пахолок, С.П. Марценюк
Національний університет “Львівська політехніка”,
кафедра будівельних конструкцій та мостів

МОДЕЛЮВАННЯ СУМІСНОЇ РОБОТИ БЕТОННОГО КОЛЕКТОРА І СКЛЕПІНЧАСТОЇ ПЛИТИ ПОСИЛЕННЯ

© Кархут I.I., Крочак О.В., Пахолок М.Й., Марценюк С.П., 2010

Наведено результати випробувань статичним навантаженням моделі бетонного колектора, посиленого склепінчастою плитою, і порівняння їх з результатами теоретичного моделювання їх сумісної роботи.

Ключові слова: бетонний колектор, посилення, моделювання, акустична емісія.

The article deals with the new method of collector reinforcing by means of arch slabs that greatly increases the carrying capacity and decreases the labor-intensiveness in comparison with other methods.

Keywords: concrete collector, reinforcing, modeling, physical emission.

Постановка проблеми. Отримані експериментальні дані випробувань чотирьох плоских моделей посиленого накладно склепінчастою плитою колектора необхідно порівняти з теоретичними розрахунками з використанням фактичних геометричних розмірів конструкцій, характеристик бетону та арматури кілець і балок, навколошного ґрунту для перевірки справедливості прийнятих припущень та розрахункових положень.

Аналіз останніх досліджень і публікацій. Числові експерименти із застосуванням лінійних та нелінійних моделей деформування все частіше використовуються в практиці досліджень перед виконанням експериментальних досліджень. Експериментальні дослідження при цьому можна здійснювати в зменшенному обсязі та контролювати поведінку саме тих перерізів, у яких виникають найбільші напруження та переміщення. Застосування при цьому акусто-емісійного контролю дає змогу контролювати якісну картину роботи конструкцій на всіх стадіях навантаження і зміни напружено-деформованого стану.

Мета та завдання досліджень. Метою цієї роботи було порівняння результатів експериментальних досліджень моделей залізобетонних колекторів, посиленіх накладними склепінчастими плитами з результатами теоретичних розрахунків за програмою ЛІРА 9.4.

Для виконання експериментальних досліджень моделювалась плоска розрахункова схема посиленого колектора, яка відповідає його реальній роботі. Були спроектовані чотири балки та кільце, які випробовувались в складі комплексного перетину.

Для випробувань кільце закопали в пісок, залишивши на поверхні 1/10 його діаметра. Щоб всередину кільца не потрапив пісок, його з двох сторін закрили щитами з ДВП. На кільце встановили склепінчасту балку на цементному розчині М 100 товщиною 20 мм. Двома кінцями з горизонтальними поверхнями балка спиралась на пісок. Пісок навколо кільца та під опорами балки ущільнювався до γ^{II} , який відповідає його природному стану.

На балку і кільце були наклеєні тензодавачі на базі 50 мм [1] для заміру деформацій і давачі акустичної емісії з робочою частотою 60 кГц для контролю за небезпечними проявами в бетоні. Навантаження прикладали гіdraulічними домкратами ступенями по 10 кН з витримкою по 5 хв після кожного завантаження.

При випробуванні здійснювався постійний акусто-емісійний контроль небезпечних проявів у бетоні. На першому ступені завантаження сумарна кількість хітів (подій) не перевищувала 30–40 і до п'ятого ступеня становила 168. При витримці кількість подій становила 1–3 шт., тобто тріщини не утворювались і не зростали як в балці, так і в кільці. На п'ятому ступені в балці (канали AE-5 – AE-8) та кільці (канали AE-1 – AE-4) відбулися стрибки накопичення енергії процесів (до 200 dB) та кількості подій (до 500–600). При цьому витримка на ступені не зупинила процесу нарощання кількості подій.

Амплітуда сигналів, яка на перших ступенях становила у середньому 16–22 dB, а максимальна не перевищувала 30 dB, на п'ятому ступені зросла до 200 dB в кільці та 283 dB у балці. Це свідчить про перевищення порогу тріщиноутворення (60–70 dB) та проходження процесу утворення і зростання дефектів типу тріщини в бетоні. Візуальний огляд склепінчастої балки підтверджив це.

За допомогою акустичної емісії був зафікований момент утворення тріщин у кільці, що важливо, оскільки візуальний огляд кільца в процесі випробувань був неможливий. Після розвантаження кільца та його огляду було підтверджено наявність тріщин, зафікованих акусто-емісійним методом, та відповідність їх положення, визначеного методом локації.

За результатами випробувань побудовані графіки деформацій в залізобетонному кільці (див. рис. 1). З графіків видно, що при руйнующому навантаженні максимальні деформації зафіковані у верхній зоні кільца і становили 43–149 від. од на зовнішній грани, та 45–68 від. од. на внутрішній грани. Середні деформації відповідно 72 та 68 від. од., що свідчить про наближення напруженодеформованого стану кільца до центрального стиску. У нижній зоні кільца за рахунок перерозподілу тиску ґрунту по периметру, деформації були в 4–5 разів менші.

Розрахунки моделі кільца, посиленого накладною плитою, виконувались за допомогою ПК ЛІРА 9.4. Круговий контур кільца був замінений на полігональний, що складався з 16 пластин. Плита також моделювалась чотирма пластинчатими елементами з коефіцієнтами жорсткості постелі C_1 , обчисленими за реальними фізико-механічними характеристиками піщаного ґрунту, на який спиралось кільце та балка. Побудовані графіки зміни згидаючих моментів та поздовжніх сил у розрахункових перетинах кільца та графіки переміщень. Результати порівняння теоретичних зусиль у розрахункових перерізах кільца та балки на всіх ступенях навантаження підтверджують справедливість прийнятих під час проектування посилення припущені. При цьому моделювання додаткового обтиску бічних поверхонь кільца за допомогою передачі тиску ґрунту тільки на опорні горизонтальні ділянки балки показало, що зменшення згидаючих моментів та наближення роботи перерізів кільца до умов центрального стиску проходило аналогічно, як під час фізичного експерименту.

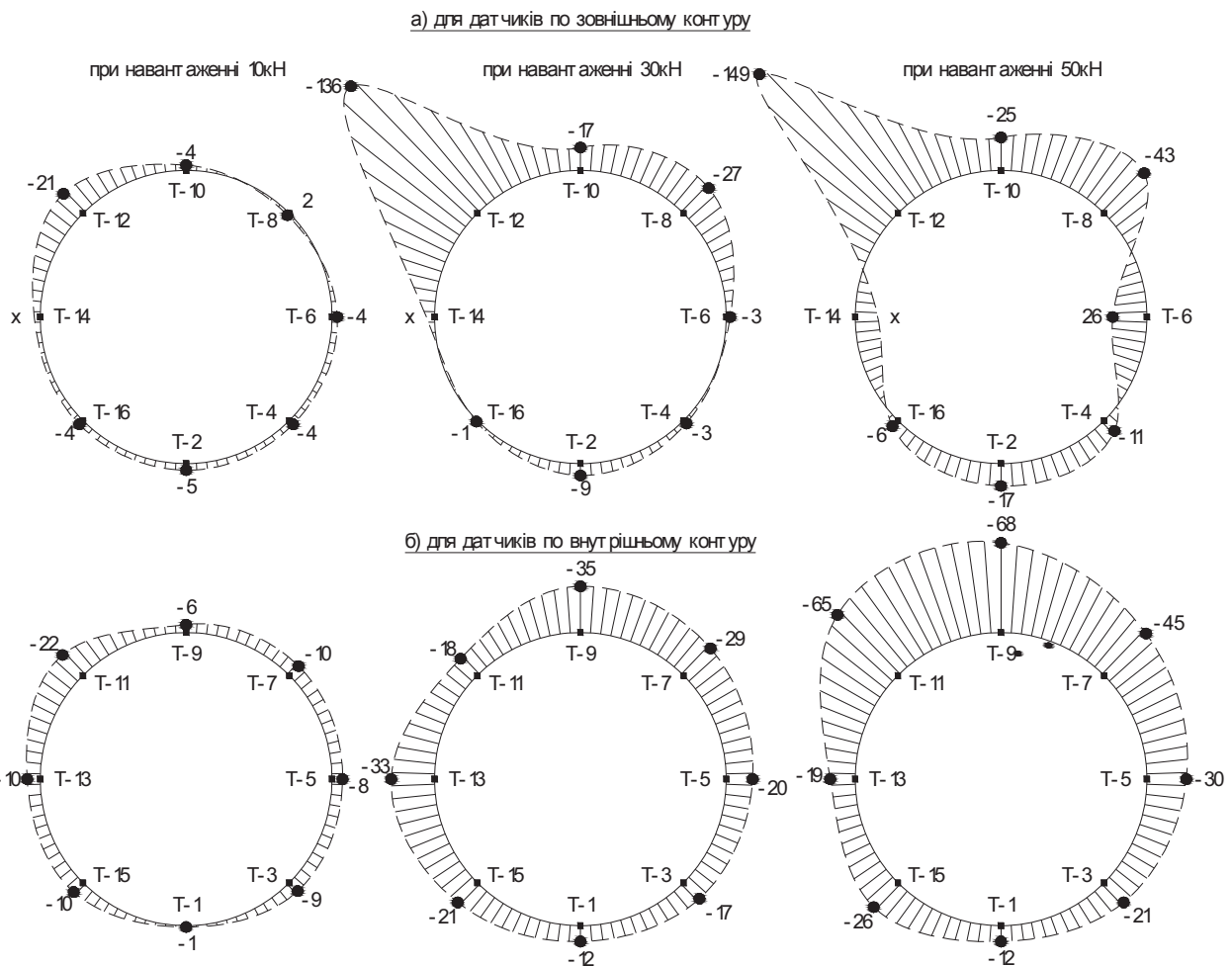


Рис. 1. Графіки деформацій у залізобетонному кільці при різних ступенях завантаження

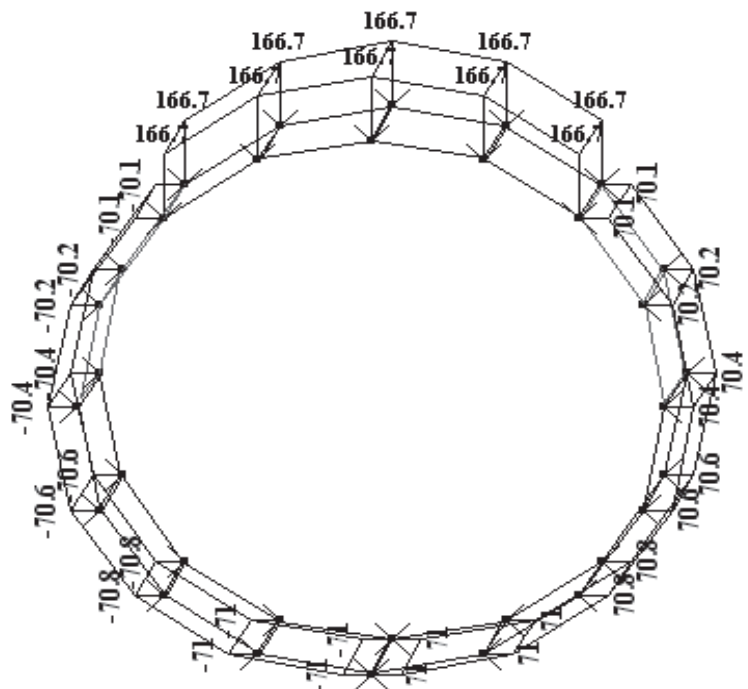


Рис. 2. Розрахункова схема підсиленого кільця, при $P = 50 \text{ кН}$

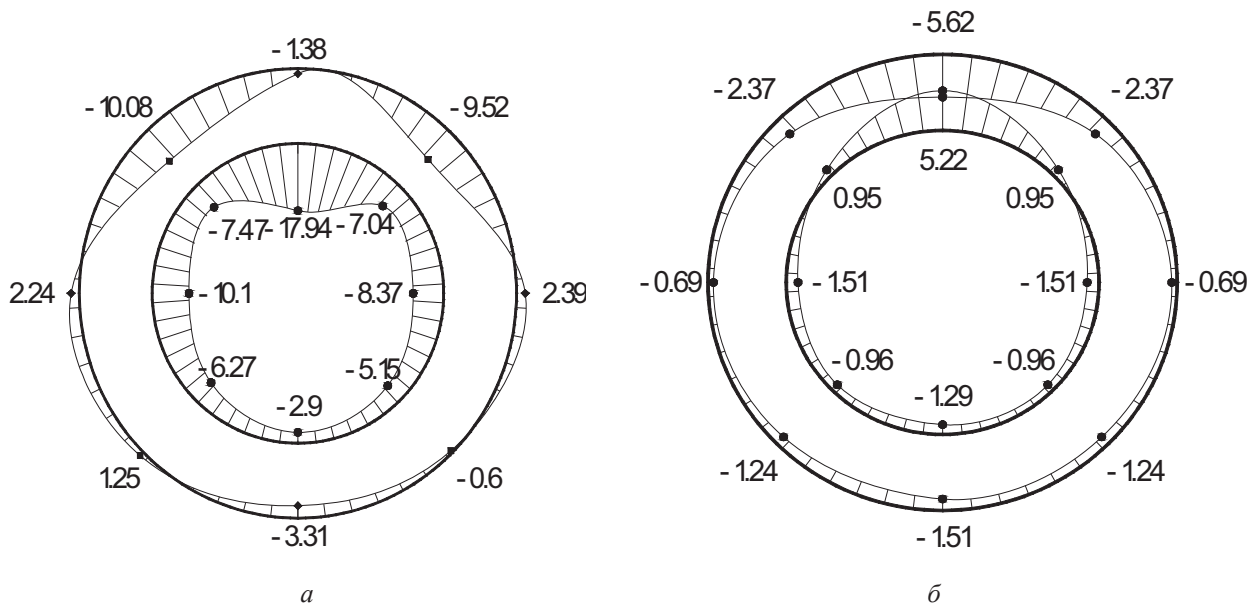


Рис. 3. Епюри напружень у кільці з посиленням, при $P = 40$ кН:

a – за експериментальними даними; *б* – за теоретичними даними

Розбіжність між даними, отриманими при числовому експерименті, та даними експериментальних досліджень (усереднені згинаючі моменти та поздовжні сили) не перевищувала 12–8 %. Більші значення відповідають початковим стадіям навантаження, менші – стадіям, близьким до руйнування.

Висновки. Випробування моделей кілець колектора, посиленого збірними накладними склепінчастими плитами показало, що фактичний розподіл у перерізах кільця усереднених напружень та деформацій близький до отриманих в числовому експерименті. З урахуванням фактичних характеристик кільця, балки та навколошнього ґрунту, відхилення теоретичних даних не перевищували 12 % від отриманих експериментальних значень. Розрахунки показали, а експериментальні дослідження підтвердили значний вплив прийнятого способу посилення на перерозподіл тиску ґрунту по зовнішньому периметру кільцевого перерізу колектора, наближення умов роботи кільця до центрального стиску. Прийняті припущення підвищення несучої здатності комплексного перетину верхньої ділянки кільця та склепінчастої частини балки також підтвердились як за результатами експерименту, так і числових розрахунків. Коефіцієнт включення балки в роботу комплексного перетину становив 0,65–0,8. Обстеження у 2009 році ділянки колектора завдовжки 200 м на вул. Промисловій у м. Львові, посиленого таким способом у 2002 році, показало відсутність дефектів та надійність прийнятого способу посилення. В оглянутих зсередини трубах відсутні тріщини, порушення поверхні бетону від перенапруження та інші силові дефекти.

1. Кархут І.І., Крочак О.В., Пахолок М.Й., Марценюк С.П. Дослідження напружено-деформованого стану бетонних колекторів, підсиленіх склепінчастими плитами // Вісник Нац. ун-ту “Львівська політехніка” “Теорія і практика будівництва”. – 2009. – С. 121–125.